

ОПРЕДЕЛЕНИЕ СОБСТВЕННЫХ ЧАСТОТ КОЛЕБАНИЙ ГИДРОПРИВОДА С УЧЕТОМ НЕРАСТВОРЕННОГО ВОЗДУХА В РАБОЧЕЙ ЖИДКОСТИ НА ОСНОВЕ ДИСКРЕТНОЙ МОДЕЛИ

Левин В.Л., НИИИОкеанмаш, г. Днепропетровск
Шмукин А.А., ДГУ, г. Днепропетровск
Бабиц А.П., ДГУ, г. Днепропетровск

В известных работах [1,2] при определении собственных частот гидравлических приводов (ГП) рабочая жидкость рассматривалась как сплошная среда с одинаковыми свойствами в рабочей и сливной магистралях гидропривода. При наличии в жидкости нерастворенного воздуха [3] в любом количестве такой подход неприемлем.

В настоящей работе рассматривается задача нахождения собственных частот колебаний ГП при наличии нерастворенного воздуха на основе дискретных моделей многомассовых систем, разработанных Н.Е.Жуковским [4], С.Н.Кожевниковым [5] и др. При этом уравнения движения дискретных масс жидкости в гидролиниях записываются в идентичной форме.

Отдельно рассматриваются два случая граничных условий: первый, когда на внешних торцах трубопроводов давление постоянно ($P=\text{const}$), и второй, когда на внешних торцах скорость жидкости равна нулю ($V=0$).

1. Случай гидропривода, когда на внешних торцах $P=0$ (рис.1). При этом $P_1=\text{const}$; $P_2=\text{const}$; $P_1 \neq P_2$, а сопротивления течению жидкости в гидролиниях и перемещению поршня в гидроцилиндре малы и не учитываются; в связи с быстрым протеканием переходных процессов принимаем адиабатические модули упругости E_1 и E_2 , плотности жидкости ρ_1 и ρ_2 в нагнетательной и сливной полостях постоянными в не зависимости от пульсации давления.

Жидкость в каждой подводящей гидролинии длиной $\ell_{\text{тпк}}$, площадью сечения $f_{\text{тпк}}$; массой $m_k = \rho f_{\text{тпк}} \ell_{\text{тпк}}$ с жесткостью $C_{\text{тпк}} = E f_{\text{тпк}} / \ell_{\text{тпк}}$, где $k=1;2$ - число подводящих гидролиний, разделяется на n равных участков (рис.1а) с массами $m_{k,i} = m_k / n$ и жесткостью $C_{ki} = C_{\text{тпк}} / n$; где i - номер дискретного участка гидролинии. В дальнейшем в работе принято $C_{1,i} = C_1$, $C_{2,i} = C_2$, $m_{1,i} = m_1$, $m_{2,i} = m_2$.

Жесткости жидкости в обоих трубопроводах $C_{\text{тп1}}$ и $C_{\text{тп2}}$ связаны с жесткостями жидкости в поршневой C_n и штоковой $C_{\text{шт}}$ полос-

ти гидроцилиндров принятыми как сосредоточенные параметры, соотношениями:

$$C_n = C_{\text{тр}1} e_1 v_1; \quad e_1 = l_{\text{тр}1}/L_n; \quad v_1 = F_n/f_{\text{тр}1};$$

$$C_{\text{шт}} = C_{\text{тр}2} e_2 v_2, \quad e_2 = l_{\text{тр}2}/L_{\text{шт}}; \quad v_2 = F_{\text{шт}}/f_{\text{тр}2},$$

где $L_n, L_{\text{шт}}, F_n$ и $F_{\text{шт}}$ — длины и площади поршневой и штоковой полости гидроцилиндра.

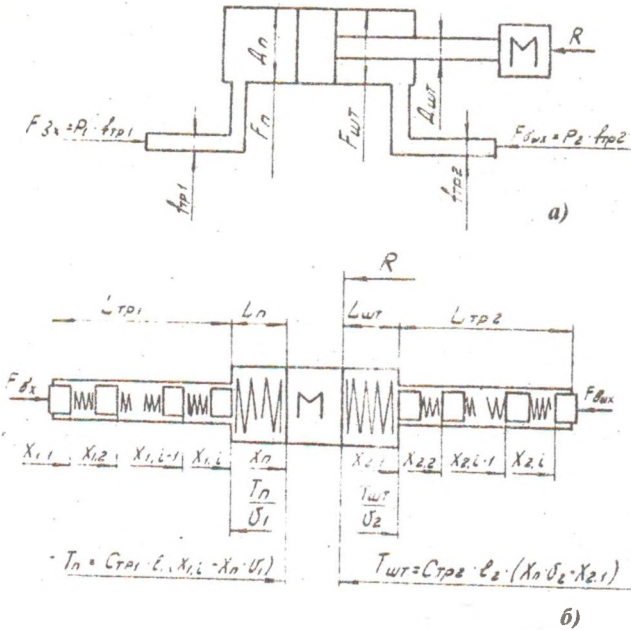


Рис.1. Гидропривод с $p = \text{const}$ на внешних концах трубопровода: а) схема, б) дискретная модель

Каждая дискретная масса в середине гидролинии находится под воздействием сил сжатия прилегающих упругих элементов $T_{k,i}$ и $T_{k,i+1}$, равных:

$$T_{k,i} = P_{k,i+1} f_{\text{тр},k} = C_{\text{тр},k} (x_{k,i} - x_{k,i+1});$$

$$T_{k,i+1} = P_{k,i+1} f_{\text{тр},k} = C_{\text{тр},k} (x_{k,i+1} - x_{k,i+2}),$$

где $P_{k,i}$ — давление жидкости на всей длине i -го дискретного участка; $x_{k,i}$ — перемещение, отсчитываемое от положения, занимаемого дискретной массой в начальный момент.

На поршень гидроцилиндра действует усилие со стороны сжатой жидкости поршневой и штоковой полостей.

где ω_n^2 - квадрат низшей частоты собственных колебаний гидропривода при числе дискретных масс n . Обозначив $\omega_n^2 / \lambda_{n=1}^2 = \gamma$, из (9) получим $\gamma^2 / n^2 = 4 \sin^2 \beta / 2$, откуда следует

$$\beta = \gamma / n \text{ и } \gamma = \omega_n \ell_{\text{тр}} / a_{\text{ск.зв.}} \quad (10)$$

Так как

$$\omega_n = \gamma_1 a_{1\text{ск.зв.}} / \ell_{\text{тр}1} = \gamma_2 a_{2\text{ск.зв.}} / \ell_{\text{тр}2}; \quad \gamma_1 = \gamma_2 \sqrt{r} \quad (r - \text{см. (4a)}). \quad (11)$$

Уравнение частот (9) при подстановке $a = \cos \gamma / n$ при $n \rightarrow \infty$ примет вид

$$\begin{aligned} & \gamma_1^2 \gamma_2^2 / b_1 b_2 v_1 e_1 e_2 - \gamma_1^2 / b_1 e_1 - \gamma_1^2 \gamma_2^2 \text{ctg} \gamma_2 / v_2 v_1 e_1 b_2 - \gamma_2^2 / b_2 e_2 + \\ & + \gamma_2^2 \text{ctg} \gamma_2 / b_2 v_2 + \gamma_1 \text{ctg} \gamma_1 / v_1 b_1 + \gamma_1^2 \gamma_2^2 \text{ctg} \gamma_1 \text{ctg} \gamma_2 / v_1 v_2 b_1 b_2 - \\ & - \gamma_2^2 \gamma_1 \text{ctg} \gamma_1 / v_1 b_1 b_2 e_2 = 0. \end{aligned} \quad (12)$$

Проверку решения для общего случая несимметричного гидропривода осуществим на частном случае, когда $\gamma_1 = \gamma_2 = \gamma (E_1 = E_2 = E)$; $r = 1$;

$$\ell_{\text{тр}1} = \ell_{\text{тр}2} = \ell; \quad d_{\text{тр}1} = d_{\text{тр}2} = d; \quad L_{\text{шт}} = L_n = L; \quad F_n = F_{\text{шт}} = F; \quad P_n = P_c = P.$$

Уравнение (12) при этом принимает вид:

$$\gamma^2 \text{ctg}^2 \gamma / v^2 b^2 - (2 \gamma^3 / v b^2 e - 2 \gamma / b v) \text{ctg} \gamma + \gamma^4 / b^2 e^2 - 2 \gamma^2 / b^2 = 0. \quad (13)$$

Корнями этого уравнения являются:

$$\gamma_1 = 0; \quad \text{при } \gamma_2 = [(K + 1/2) \pi, 0] \text{ctg} \gamma_2 = 0;$$

$$\text{ctg} \gamma_{3,4} = \gamma v / \ell - v b / \gamma \pm v b / \gamma, \quad \text{здесь } \gamma_1, \gamma_2 \dots \gamma_4 - \text{корни (13)}.$$

Так как при корне $\text{ctg} \gamma_4 = \gamma v / \ell$ коэффициент $b = m_{\text{жтр}} v / M = 0$, что противоречит постановке задачи, то единственным действительным корнем является

$$\text{ctg} \gamma_3 = \gamma v / \ell - 2v b / \gamma. \quad (14)$$

Этот результат полностью соответствует случаю определения собственных частот симметричного гидропривода ($P_n = P_c = P_1$, неразтворенный воздух отсутствует и т.д.), рассмотренного в работе [1].

2. Схема гидропривода, в котором на внешних торцах гидролиний скорость жидкости $v=0$ (рис.2,а). При определении собственных частот используем принятые ранее допущения и обозначения параметров. Учитываем обстоятельство, что в рассматриваемом случае система представляет замкнутый объем, в котором перемещение поршня, например, в сторону поршневой полости (см. рис. 2) на величину Δx_n вызывает в этой полости повышение давления на величину:

$$\Delta P_n = \Delta V E / V = (\Delta x_n F_n + \Delta x_{1,i} f_{\text{тр}1}) E_1 / (F_n L_n + f_{\text{тр}1} \ell_{\text{тр}1} / n), \quad (15)$$

а давление в штоковой полости уменьшится на величину:

$$\Delta P_{\text{шт}} = (-\Delta x_n F_{\text{шт}} + \Delta x_{2,1} f_{\text{тр}2}) E_2 / (F_{\text{шт}} L_{\text{шт}} + f_{\text{тр}2} \ell_{\text{тр}2} / n), \quad (16)$$

где $\Delta x_{1,i}$, $\Delta x_{2,1}$ - величины положительной и отрицательной деформации жидкости конечного дискретного участка первого трубопровода и первого дискретного участка второго трубопровода.

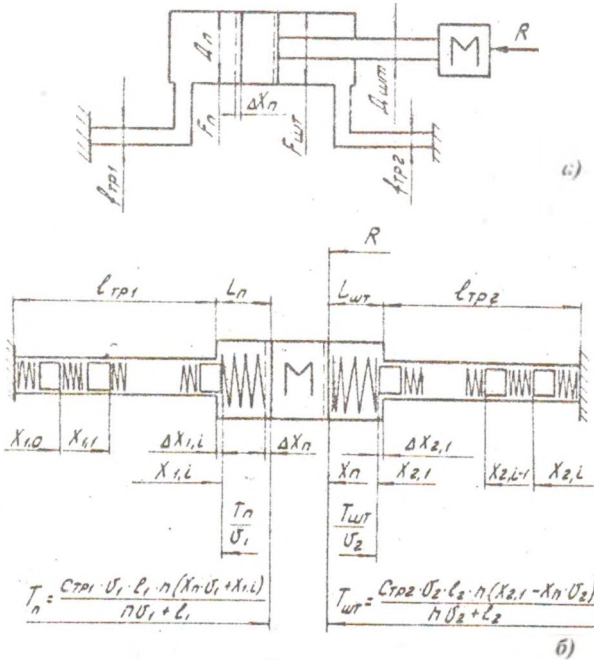


Рис.2. Гидропривод с $V=0$ на внешних концах трубопроводов:
а – схема; б – дискретная модель

Для момента времени, когда распределитель внезапно перекрыт и волна сжатия жидкости в гидрولىнии I начала перемещаться от внешнего торца гидрولىнии к поршню, а поршень продолжает движение в прежнем направлении, систему уравнений движения всех дискретных масс жидкости и поршня представим в следующем виде (здесь $m_1 = m_{1,i}$; $m_2 = m_{2,i}$):

$$m_1 x_{1,1} - C_1 x_{1,1} + C_1 (x_{1,1} - x_{1,2}) = 0;$$

$$m_1 x_{1,2} - C_1 (x_{1,1} - x_{1,2}) + C_1 (x_{1,2} - x_{1,3}) = 0;$$

$$\dots$$

$$m_1 x_{1,i-1} - C_1 (x_{1,i-2} - x_{1,i-1}) + C_1 (x_{1,i-1} - x_{1,i}) = 0;$$

$$m_1 x_{1,i} - C_1 (x_{1,i-1} - x_{1,i}) + C_{TP1} e_1 n (x_n v_1 + x_{1,i}) / (n v_1 + e_1) = 0;$$

$$-M x_n - C_{TP1} v_1 e_1 n (x_n v_1 + x_{1,i}) / (n v_1 + e_1) + (C_{TP2} v_2 e_2 n / (n v_2 + e_2)) x(x_{2,1} - x_n v_2) = -R; \quad (17)$$

$$-m_2 x_{2,1} - C_{TP2} e_2 n (x_{2,1} - x_n v_2) / (n v_2 + e_2) + C_2 (x_{2,2} - x_{2,1}) = 0;$$

$$\dots$$

$$-m_2 x_{2,i-1} - C_2 (x_{2,i-1} - x_{2,i-2}) + C_2 (x_{2,i-1} - x_{2,i}) = 0;$$

$$-m_2 x_{2,i} - C_2 (x_{2,i} - x_{2,i-1}) + C_2 x_{2,i} = 0.$$

Следовательно, единственным корнем уравнения (23) является выражение (24). Этот результат соответствует случаю определения собственных частот симметричного гидропривода при отсутствии неразтворенного воздуха в системе, рассмотренного в работах [1] и [7].

3. Численный метод определения собственных частот колебаний гидропривода для обеих схем граничных условий. Численный метод сводится к решению 2-х пар систем уравнений: для первого случая это (12) и (11); для второго – (22) и (11). Введем обозначения: $b_1=k_1v_1$; $b_2=k_2v_2$; $a_1=1/b_1b_2e_1e_2$; $a_2=1/b_1e_1$; $a_3=1/v_2b_1e_1b_2$; $a_4=1/b_2e_2$; $a_5=1/b_2v_2$; $a_6=1/v_1b_1$; $a_7=1/v_1v_2b_1b_2$; $a_8=1/v_1b_1b_2e_2$; $a_9=r-\text{var}(a_9^1=1, a_9^{11}=0,4)$; $a_{10}=e_1e_2$; $a_{11}=e_1e_2v_2^2k_2$; $a_{12}=e_1v_1$; $a_{13}=e_2e_1k_1v_1^2$; $a_{14}=e_2v_1$; $a_{15}=v_1^2e_1k_1v_2$; $a_{16}=v_2^2e_2k_2v_1$; $a_{17}=v_1v_2$.

В результате подстановок, включая $g=a_9-\text{var}$ вместо двух пар уравнений, будем иметь для каждого случая по одному уравнению:

$$[\gamma^4 a_9 a_1 - \gamma^2 (a_9 a_2 + a_4)] + (a_5 \gamma - a_3 a_9 \gamma^3) \text{ctg} \gamma + (a_6 \gamma \sqrt{a_9} - a_8 \gamma^3 \sqrt{a_9}) \times \\ \times \text{ctg}(\gamma \sqrt{a_9}) + (a_7 \sqrt{a_9} \gamma^2) \text{ctg} \gamma \text{ctg}(\gamma \sqrt{a_9}) = 0; \quad (27)$$

и

$$-\gamma^2 \sqrt{a_9} a_{10} \text{tg} \text{tg}(\gamma \sqrt{a_9}) + [\gamma \sqrt{a_9} a_{11} - \gamma^3 \sqrt{a_9} a_{12}] \text{tg} \gamma \sqrt{a_9} + \\ + (\gamma a_{13} - \gamma^3 a_9 a_{14}) \text{tg} \gamma + (a_{15} + a_{16} a_9) \gamma^2 - \gamma^4 a_9 a_{17} = 0. \quad (28)$$

Для решения трансцендентных уравнений (27),(28) был использован алгоритм, реализующий вычисление первого наименьшего по модулю корня γ_1 на основе предельного соотношения [8].

$$\gamma_1^2 = \lim_{n \rightarrow \infty} \Omega_n / \Omega_{n+1}, \quad n=0,1,2,\dots, \quad (29)$$

где многочлены Ω_n функционально удовлетворяют рекуррентному соотношению

$$\Omega_0 = 1/\varphi_0; \quad \Omega_n = \sum_{n=1} (\varphi_n/\varphi_0) \Omega_{n-1}, \quad (30)$$

а последовательность φ_n , несущая информацию об исходных уравнениях, определяется из алгоритма их представления в форме степенного ряда

$$f(\gamma) = \sum_{n=0}^{\infty} \varphi_n \gamma^{2n} = 0. \quad (31)$$

Приведение уравнений (27),(28) к виду (31) проиллюстрируем на примере простейшего трансцендентного уравнения

$$\text{ctg} \gamma = \gamma/B_1, \quad (32)$$

где B_1 - критерий БИО [9,10]. После тождественных преобразований получим

$$f(\gamma) = \cos \gamma - (\gamma/B_i) \sin \gamma = 0. \quad (33)$$

Воспользовавшись разложением тригонометрических функций в степенные ряды [7], найдем

$$\varphi_0 = 1, \quad -\varphi_n = ((-1)^n / (2n!)) (1 + 2n/B_i). \quad (34)$$

После аналогичных преобразований уравнений (27), (28) к виду (31) коэффициенты последовательностей φ_n выражаются через a_i ($i = 1, 2, \dots$) следующим образом:

- для уравнений (27)

$$\begin{aligned} \varphi_0 &= (a_2 + a_4) \varphi_{1,0} + a_5 \varphi_{2,0} + a_6 \varphi_{3,0} + a_7 \varphi_{4,0}; \\ \varphi_n &= \{[(a_2 + a_4) \varphi_{1,n} - a_1 \varphi_{1,n-1}] + [a_5 \varphi_{2,n} - a_3 \varphi_{2,n-1}] + \\ &\quad + [a_6 \varphi_{3,n} - a_8 \varphi_{3,n-1}] + a_7 \varphi_{4,n}\}; \end{aligned} \quad (35)$$

- для уравнения (28)

$$\begin{aligned} \varphi_0 &= (a_{15} + a_{16}) \varphi_{4,0} + a_{13} \varphi_{3,0} + a_{11} \sqrt{a_9} \varphi_{2,0} + a_{10} \sqrt{a_9} \varphi_{1,0}; \\ \varphi_n &= \{[(a_{15} + a_{16}) \varphi_{4,n} - a_{17} a_9 \varphi_{4,n-1} + [a_{13} \varphi_{3,n} - a_{14} a_9 \varphi_{3,n-1}] \\ &\quad + [a_{11} \sqrt{a_9} \varphi_{2,n} - a_{12} \sqrt{a_9} \varphi_{2,n-1}] + a_{10} \sqrt{a_9} \varphi_{1,n}\}, \end{aligned} \quad (36)$$

где $\varphi_{1,n} = [(-1)^n / (2n!)] [(1 + \sqrt{a_9})^{2n} - (1 - \sqrt{a_9})^{2n}]$;

$$\varphi_{2,n} = [(-1)^n / (2n+1)!] [(1 + \sqrt{a_9})^{2n+1} - (1 - \sqrt{a_9})^{2n+1}];$$

$$\varphi_{3,n} = [(-1)^n / (2n+1)!] [(1 + \sqrt{a_9})^{2n+1} + (1 - \sqrt{a_9})^{2n+1}]; \quad (37)$$

$$\varphi_{4,n} = [(-1)^n / (2n)!] [(1 + \sqrt{a_9})^{2n} + (1 - \sqrt{a_9})^{2n}].$$

Результаты расчетов по разработанной выше методике при определении первого корня уравнений (27) и (28) произведены для гидропривода с параметрами [1]: диаметр цилиндра $D_{ц} = 4,5$ см; $F_n = 15,9$ см²; $f_{тp1} = f_{тp2} = 0,7805$ см²; $\ell_{тp1} = \ell_{тp2} = 4$ м; 8 м; 12 м; 16 м; 20 м; $\rho_{ж} = 0,906 \times 10^{-6}$ кг/сек²/см⁴; $M_n = 0,403$ кг/с²/см; $L_{пн} = 11$ см; $L_{шт,n} = 14,4$ см; $E_1 = 13840$ кгс/см² (0% нерастворенного воздуха); $E_2 = 6000$ кгс/см² (0,1% нерастворенного воздуха), $a_{1скзв} = 1240$ м/с.

Результаты расчетов сведены в таблицы и представлены графиками:

Таблица 1. Уравнение (28), $r=1$

$\ell_{тp}$, см	γ	ω , 1/с
400	0,5100	158
800	0,7588	118
1200	0,9136	94
1600	1,0192	80
2000	1,0957	68

Таблица 2. Уравнение (28), $r=0,483$

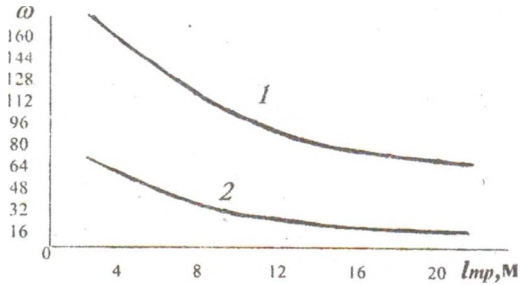
$\ell_{тp}$, см	γ	ω , 1/с
400	0,6612	205
800	0,9844	153
1200	1,1842	122
1600	1,3193	102
2000	1,4163	88

Таблица 3. Уравнение (27), $r=1$

$l_{тр}, \text{см}$	γ	$\omega, 1/\text{с}$
400	1,0740	333
800	1,2688	197
1200	1,3594	140
1600	1,4115	109
2000	1,4452	90

Таблица 4. Уравнение (27), $r=0,483$

$l_{тр}, \text{см}$	γ	$\omega, 1/\text{с}$
400	1,1277	229
800	1,3570	138
1200	1,4670	99
1600	1,5313	78
2000	1,5734	64



1-график расчета ω по уравнению (28) данной работы,

2- график расчета ω по уравнению (23) работы [1].

Рис. 3. Результаты расчетов

Параметры гидроприводов, по условию, в обоих случаях равны. Из анализа результатов численного моделирования на ПЭВМ следует, что предел последовательности (29) обладает достаточно быстрой сходимостью к первому корню и может быть использован для построения приближенных методик. Введем следующие обозначения

$$\gamma_{1,0}^2 = \Omega_0 / \Omega_1, \quad \gamma_{1,1}^2 = \Omega_1 / \Omega_2, \quad \gamma_{1,2}^2 = \Omega_2 / \Omega_3. \quad (38)$$

Замещая в (38) Ω_n по рекуррентным формулам (30), получим

$$\begin{aligned} \gamma_{1,0}^2 &= -\varphi_0 / \varphi_1; \\ \gamma_{1,1}^2 &= -\varphi_0 / (\varphi_1 + \gamma_{1,0}^2 \varphi_2); \\ \gamma_{1,2}^2 &= -\varphi_0 / (\varphi_1 + \gamma_{1,1}^2 (\varphi_2 + \gamma_{1,0}^2 \varphi_3)). \end{aligned} \quad (39)$$

Ограничившись в (39) конечным числом членов последовательности, т.е. приняв, например, за искомое значение корня соотношение

$$\gamma_1^2 \approx \gamma_{1,2}^2 \quad (40)$$

получим его приближенное выражение в замкнутом виде. Такой степени приближенности может оказаться достаточно для инженерной практики, что особенно актуально для многопараметрических трансцендентных уравнений типа (27), (28) и других с большим числом свободных параметров [8], [10].

В заключение заметим, что несовпадение расчетов, приведенных в табл.1 с аналогичными результатами из работы [1], по видимому, объясняется разной концепцией построения математических моделей.

Оценку разных математических моделей гидропривода можно провести только путем сравнения результатов расчетов, произведенных на их основе, с экспериментальными данными, полученными на реальном гидроприводе с аналогичными параметрами.

Определение собственных частот колебаний гидропривода необходимо при создании систем автоматического регулирования точных и ответственных гидроприводов, например в станкостроении, буровых установках с гидроподачей, системах пилотирования различного назначения и т.д.

В связи с этим работа должна быть продолжена и результаты расчетов сравнены с экспериментальными данными.

Литература

1. Цуханова Е.А., Яншина М.А. Определение собственных частот колебаний поршня и жидкости в магистралях гидропривода.-М.: Машиностроение, 1974. -№3.- С.32-38.
2. Тарко Л.М. Динамика гидропередачи с распределенными параметрами//Пневматика и гидравлика. Приводы и системы управления.-М.:Машиностроение, 1978.-Вып. 5. -С. 94-102.
3. Аксиально-поршневой регулируемый гидропривод / В.И. Прокофьев, Ю.А. Данилов, Л.А. Кондаков и др. -М.: Машиностроение, 1969. - 498 с.
4. Жуковский Н.Е. Работа сквозного и несквозного тяговых приборов при трогании поезда с места и в начале его движения: в 9 т. собр. соч. Т 3.- М.: ГИИТЛ, 1949. -700 с.
5. Кожевников С.Н. Динамика машин с упругими звеньями. -К.: Изд. АН УССР, 1961.-160 с.
6. Шмукин А.А. Определение первого корня характеристических уравнений в аналитической теории теплопроводности // Инж. Физ. журнал. -1976. -Т.27, №3.-С.533-534.
7. Маркушевич А.Н. Краткий курс теории аналитических функций. -М.: Наука, 1966.-327 с.
8. Чернов А.В., Бессеребренников Н.К., Силецкий В.С. Основы гидравлики и теплотехники. -М.: Энергия, 1975. -416 с.
9. Тихонов А.Н., Самарский А.А. Уравнения математической физики. - М.: Наука, 1964. -3+44 с.
10. Лыков А.В. Теория теплопроводности. -М.: Высш.школа, 1967.-600 с.
11. Коробочкин Л.Б. Динамика гидравлических систем станков. -М.: Машиностроение, 1976.-240 с.